

Б. С. КОСТИН

(Томск)

ОБ ОДНОМ АЛГОРИТМЕ ОПРЕДЕЛЕНИЯ ПАРАМЕТРОВ АТМОСФЕРНОГО АЭРОЗОЛЯ

Введение. Методы многочастотного лазерного зондирования наиболее перспективны для исследования микроструктуры и показателей преломления, являющихся основными параметрами атмосферного аэрозоля. Это обусловлено тем, что оптические свойства аэрозолей определяются их химическим составом, от которого зависит величина показателей преломления, и отношением размера частиц к длине волны зондирующего излучения.

Постановка задачи. Параметры атмосферного аэрозоля по данным многочастотного лазерного зондирования атмосферы находятся из решения системы, состоящей из уравнения лазерного зондирования и уравнений для полидисперсных оптических характеристик:

$$\frac{P(z, \lambda_i)}{P_0(\lambda_i)} = B(\lambda_i) z^{-2} \beta_\pi(z, m_i, \lambda_i) \exp \left\{ -2 \int_0^z \beta_{ex}(z', m_i, \lambda_i) dz' \right\}, \quad (1)$$

$$\beta_\pi(z, m_i, \lambda_i) = \int_{R_1(z)}^{R_2(z)} K_\pi(r, m_i, \lambda_i) s(z, r) dr, \quad s(z, r) = \pi r^2 n(z, r), \quad (2)$$

$$\beta_{ex}(z, m_i, \lambda_i) = \int_{R_1(z)}^{R_2(z)} K_{ex}(r, m_i, \lambda_i) s(z, r) dr, \quad i = 1, 2, \dots, n, \quad (3)$$

где $P(z, \lambda_i)/P_0(\lambda_i)$ — относительная мощность принимаемого оптического излучения с длиной волны λ_i ; z — расстояние от лазерного локатора до рассеивающего слоя атмосферы; $B(\lambda_i)$ — постоянная, зависящая от параметров аппаратуры; $\beta_\pi(z, m_i, \lambda_i)$ и $\beta_{ex}(z, m_i, \lambda_i)$ — полидисперсные оптические характеристики обратного рассеяния и ослабления; $K_\pi(r, m_i, \lambda_i)$ и $K_{ex}(r, m_i, \lambda_i)$ — факторы эффективности обратного рассеяния и ослабления оптического излучения аэрозольной частицей радиусом r ; $m_i = n_i - ix_i$ — комплексный показатель преломления; $s(z, r)$ — распределение геометрического сечения частиц аэрозоля по размерам; $n(z, r)$ — распределение концентрации частиц по размерам; $R_1(z)$ и $R_2(z)$ — наименьший и наибольший размеры частиц в распределении; n — число длин волн зондирующего излучения.

В [1] предложен итерационный алгоритм решения системы уравнений (1)–(3), позволяющий определить один параметр атмосферного аэрозоля (микроструктуру). Другой параметр (показатель преломления) должен быть задан априори. Очевидно, что точность определения микроструктуры в этом случае, помимо точности измерений, будет зависеть от точности априорного задания показателя преломления. В условиях значительных вариаций аэрозольных параметров, что особенно характерно для приземного слоя атмосферы, априорное задание конкретного значения показателя преломления весьма затруднительно. В данном сообщении рассмотрен алгоритм, с помощью которого можно определить оба параметра аэрозоля из оптических измерений.

Решение задачи и основной результат. В [2] рассмотрен метод оптического зондирования параметров слабопоглощающего ($\kappa \leq 0,002$) атмосферного аэрозоля, основанный на одновременном использовании многочастотного лазерного локатора и спектрального фотометра. Измерения могут осуществляться, например, по схеме, представленной на рис. 1. Отражающий экран 5, источник света 4 и спектральный фотодиод 3

метр 3 предназначены для определения базовым методом прозрачности (коэффициента ослабления) слоя атмосферы от лазерного локатора 1 до рассеивающего объема 2. Данный метод оптического зондирования позволяет построить ряд алгоритмов определения параметров атмосферного аэрозоля. Как показал анализ, выполненный автором, наиболее оптимальным является алгоритм, основанный на построении вспомогательной функции

$$\varphi_j(m) = \int_{R_1(z)}^{R_2(z)} K_{ex}(r, m, \lambda_j) s(z, r) dr, \quad j = 1, \dots, N, \quad (4)$$

где $s(z, r)$ получено при решении уравнений (1)–(3) с показателем преломления, равным m ; N — число рабочих длин волн спектрального фотометра.

Из выражения (4) следует, что значение функции $\varphi_j(m^*)$ совпадает с величиной полидисперсного коэффициента ослабления на длине волны λ_j (см. (3)), если только m^* и $s(z, r)$, входящие в $\varphi_j(m)$, соответствуют параметрам атмосферного аэрозоля.

Функции $\varphi_j(m)$ рассчитываются одновременно с решением системы уравнений (1)–(3). При этом для каждой длины волны λ_j с некоторым шагом Δm_l строится последовательность возрастающих значений показателя преломления

$$\{m_l\} \quad (l = 1, 2, \dots; m_{l-1} < m_l). \quad (5)$$

Предельные значения в этой последовательности задаются априори на основе имеющихся данных о составе атмосферного аэрозоля. Выбор шага $\Delta m_l = m_l - m_{l-1}$ проводится с учетом разрешающей способности используемой аппаратуры. В большинстве случаев, если последовательность (5) построена с равномерным шагом $\Delta m = 0,01$, обеспечивается приемлемая точность определения параметров атмосферного аэрозоля.

Алгоритм осуществляется в два этапа.

1. Сначала выбирается некоторое значение показателя преломления m_l из последовательности (5), с учетом которого итерационным методом [1] решается система уравнений (1)–(3) для измеренных с помощью многочастотного лазерного локатора значений $P(z, \lambda_i)/P_0(\lambda_i)$ ($i = 1, 2, \dots, n$) и находится $s_l(z, r)$ — распределение геометрического сечения частиц.

2. В соответствии с (4) рассчитывается значение функции $\varphi_j(m_l)$ и сопоставляется с измеренным с помощью фотометра значением коэффициента ослабления. Если разность между ними велика, то переходят к следующему значению показателя преломления из последовательности (5), причем выбор делается с учетом знака разности. Если разность между рассчитанными значениями функции $\varphi_j(m_l)$ и измеренным значением коэффициента ослабления отрицательна, выбирается $m_{l+1} > m_l$. Если же разность мала, то процесс обрывается. Найденные на первом этапе распределение $s(z, r)$ и на втором этапе значение показателя преломления принимаются в качестве параметров атмосферного аэрозоля.

Заметим, что длины волны λ_j , входящие в выражение (4), для фотометра могут быть иными, нежели длины волн λ_i , на которых работает лазерный локатор. Это является преимуществом алгоритма. Во-первых, отпадает необходимость оригинальных разработок спектральных фотометров, так как можно использовать серийные приборы. Во-вторых, открывается возможность детального исследования спектральной зависимости показателя преломления аэрозолей. В этом случае необходимо,

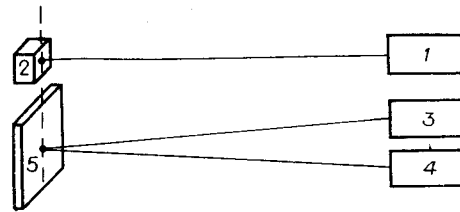


Рис. 1.

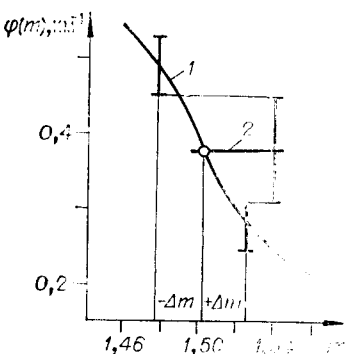


Рис. 2.

чтобы спектральный интервал рабочих длин волн фотометра был больше, чем спектральный интервал лазерного локатора, и выполнялось условие $N > n$.

Алгоритм устойчив к ошибкам оптических измерений при определении показателей преломления, что обусловлено быстрым убыванием функции $\varphi_i(m)$. Погрешность нахождения показателя преломления иллюстрируется примером на рис. 2. Функция $\varphi(m)$ ($\lambda = 0,63 \text{ мкм}$, $z = 360 \text{ м}$) рассчитана для измерений, выполненных лазерным локатором с тремя длинами волн (кривая 1). Измеренное фотометром значение коэффициента ослабления (прямая 2) позволяет установить,

что показатель преломления для $\lambda = 0,63 \text{ мкм}$ примерно составляет 1,50. Наибольшая ошибка при определении показателя преломления возникает в тех случаях, когда данные лазерного зондирования систематически занижены, а фотометрические измерения систематически завышены, и наоборот. В ситуации, показанной на рис. 2, погрешность результатов лазерного зондирования равна $\pm 10\%$, а фотометрические измерения выполнены с ошибкой $\pm 20\%$. В этом случае, как следует из рис. 2, величина показателя преломления находится с погрешностью Δm , не превышающей $\pm 0,025$. Уменьшение ошибки фотометрических измерений до $\pm 10\%$ (что вполне реально для существующего технического уровня) приводит к уменьшению Δm практически вдвое. Такие погрешности определения показателя преломления атмосферного аэрозоля вполне приемлемы на практике.

Описанный алгоритм был опробован для нахождения параметров атмосферного аэрозоля по данным оптического зондирования, выполненного в Томске на полигоне Института оптики атмосферы СО АН СССР по указанной выше схеме (см. рис. 1). Лазерное зондирование на трех длинах волн ($\lambda = 0,53; 0,69$ и $1,06 \text{ мкм}$) сопровождалось фотометрическими измерениями на длине волны $\lambda = 0,63 \text{ мкм}$. Значение показателя преломления для серии измерений при различных оптических состояниях атмосферы менялось от 1,50 до 1,55. Эти значения показателей преломления, а также полученные данные о микроструктуре удовлетворительно согласуются с результатами выполненных в Томске измерений аэрозольных параметров контактным методом [3].

ЛИТЕРАТУРА

1. Наац И. Э. Вопросы теории дистанционного определения микроструктуры атмосферного аэрозоля методами лазерной локации.— В кн.: Лазерное зондирование атмосферы. М.: Наука, 1976.
2. Костин Б. С., Наац И. Э. К теории дистанционного определения микрофизических характеристик аэрозолей многочастотными лидарами.— В кн.: 7-й Всесоюз. симп. по лазерному и акустическому зондированию атмосферы (Тез. докл.). Томск: ТФ СО АН СССР, 1982, ч. 1.
3. Зуев В. Е., Ивлев Л. С., Кондратьев К. Я. Новые результаты исследований атмосферного аэрозоля.— Изв. АН СССР. Сер. Физика атмосферы и океана, 1973, т. IX, № 4.

*Поступила в редакцию 7 июля 1982 г.;
окончательный вариант — 7 января 1983 г.*